# Physikalisch-chemische Eigenschaften von Lösungen in verflüssigten Gasen. 15

Leitfähigkeit von Säuren und Salzen in flüssigem Ammoniak <sup>1</sup>

Von E. N. Gurjanowa und W. A. Pleskow

Die Erforschung der physikalisch-chemischen Eigenschaften der Lösungen von Elektrolyten im flüssigen Ammoniak ist von grossem Interesse und bildet den Gegenstand zahlreicher Untersuchungen. Die Zahl der Arbeiten, die der Uutersuchung ammoniakalischer Lösungen gewidmet sind, ist bedeutend grösser als die Zahl der Arbeiten, die sich auf irgendein Lösungsmittel, mit Ausnahme von Wasser, beziehen.

Das grosse Interesse, das diesen Lösungen entgegengebracht wird, ist damit zu erklären, dass die Erforschung ihrer Eigenschaften viel Material nicht nur zur Charakteristik des Ammoniaks als Lösungsmittel geben kann, sondern auch für die allgemeine Theorie der Lösungen.

Die verhältnismässig kleine Dielektrizitätskonstante D des flüssigen Ammoniaks verursacht eine beträchtliche Vergrösserung der elektrostatischen Kräfte zwischen den Ionen in ammoniakalischen Lösungen im Vergleich zum Wasser. Insbesondere haben Monossohn und Pleskow² gezeigt, dass die klassische Debye-Onsagersche Theorie auf Lösungen starker Elektrolyte in flüssigem Ammoniak, sogar bei ausserordentlich hohen Verdünnungen (50000 — 100000 Lit/Mol) nicht anwendbar ist. Andrerseits verursacht die kleine Zähigkeit des flüssigen Ammoniaks eine bedeutende Erhöhung der Ionenbeweglichkeit.

Vorliegende Arbeit ist die Dissertationsschrift von E. N. Gurjanowa zur Erlangung der Kandidatenwürde der chemischen Wissenschaften.
Monossohn u. Pleskow, Z. physik. Chem., 156, 176 (1931).

Jedoch erschöpft sich nicht die Besonderheit des Ammoniaks nur in seinen physikalischen Eigenschaften, wie die Dielektrizitätskonstante und die Zähigkeit. Äusserst charakteristisch ist die im Vergleich zum Wasser erhöhte Affinität des  $\rm NH_8$ -Moleküls zum Proton, was besonders augenfällig durch die Existenz des stabilen Ammoniumions und eine im Vergleich zur Hydratationsenergie im Wasser bedeutend grössere Solvatationsenergie des H' im Ammoniak zum Ausdruck kommt. Nach den Angaben von Pleskow und Monossohn³ erreicht dieser Unterschied 17,3 cal. Die grosse Affinität des Ammoniaks zum Wasserstoffion muss sich zweifellos im Verhalten der im flüssigen Ammoniak gelösten Säuren widerspiegeln. Bekanntlich ist nach der Franklinschen Theorie $^4$  das Ammoniumion  $\rm NH_4$ ' im flüssigen Ammoniak das Analogon zum Hydroxoniumion  $\rm H_8O$ ' in Wasser.

Alle Verbindungen, die im flüssigen Ammoniak  $NH_4$ -Ionen abspalten, sind Säuren. In erster Linie gehören hierher die Ammoniumsalze und Säureamide (z. B.  $CH_3CONH_2 + NH_3 \rightarrow CH_3CONH' + NH_4$ ).

Es muss betont werden, dass wenn auch die Franklin sche Theorie in erheblichem Masse formal ist, die Analogie zwischen den  $NH_4^-$  und  $H_3O$ -Ionen sehr tief geht.

Insbesondere besitzen die ammoniakalischen Lösungen von Ammoniumsalzen in der Tat eine Reihe von Säureeigenschaften färben entsprechend Indikatoren, scheiden mit Metallen Wasserstoff aus und besitzen nach einer Arbeit von Schattenstein 5 katalytische Aktivität.

Das Ziel dieser Arbeit bestand einerseits in der Bestimmung der Leitfähigkeit einer Reihe von Ammoniumsalzen in flüssigem Ammoniak, um die Anwendbarkeit der gegenwärtigen Leitfähigkeitstheorien von Debye-Onsager<sup>6</sup> und Fuoss und Kraus<sup>7</sup> auf diese Lösungen zu prüfen. Andrerseits wurde der Einfluss der schon oben bemerkten spezifischen Besonderheit des flüssigen Ammoniaks—

<sup>&</sup>lt;sup>3</sup> Pleskow u. Monossohn, Acta Physicochimica URSS, 2, 621 (1935).

<sup>4</sup> Franklin, "Nitrogen System of Compounds", 1935.

 <sup>&</sup>lt;sup>5</sup> Schattenstein, Acta Physicochimica URSS, 3, 37 (1935).
 <sup>6</sup> Onsager, Physik, Z., 26, 188 (1927); Onsager, Physik, Z., 27, 177 (1928).

<sup>&</sup>lt;sup>7</sup> Fuoss u. Kraus, J. Am. Chem. Soc., 55, 21, 476, 1019 (1933); Fuoss, Chem. Rev., 17, 27 (1935).

die grosse Affinität zum Proton auf das Verhalten einer Reihe verschieden starker Säuren in ammoniakalischen Lösungen untersucht. Es sei bemerkt, dass während die Leitfähigkeit der Säureamide ziemlich eingehend von Franklin und Kraus<sup>8</sup> und Smith<sup>9</sup> untersucht wurde, die gezeigt haben, dass die Stärke der Säureamide in Ammoniak im allgemeinen parallel mit der Stärke der entsprechenden Säuren in Wasser geht, die Leitfähigkeit der Ammoniumsalze fast garnicht untersucht wurde. Neben der Leitfähigkeit einer Reihe verschiedener Säuren im Ammoniak wurde von uns auch die Leitfähigkeit von Nitraten von Erdalkalimetallen untersucht. Dies wurde im Grunde getan, um mit Hilfe einer genaueren Methodik die vorhandenen experimentellen Daten von Franklin und Kraus<sup>8</sup> genauer zu fassen.

## Experimenteller Teil

Wir untersuchten die Leitfähigkeit folgender Verbindungen:  $\mathrm{NH_4NO_8},\ \mathrm{NH_4Cl},\ \mathrm{NaCl},\ \mathrm{NH_4Br},\ \mathrm{NH_4ClO_4},\ \mathrm{KClO_4},\ \mathrm{CH_3COOH},\ \mathrm{CH_3COOH},\ \mathrm{HCOOH},\ \mathrm{HCOONa},\ \mathrm{C_6H_5COOH},\ \mathrm{HCN},\ \mathrm{Ca(NO_3)_2},\ \mathrm{Ba(NO_8)_2}\ \mathrm{und}\ \mathrm{Sr(NO_3)_2}$ 

in flüssigem Ammoniak.

Die Messungen wurden bei — 40,0° und bei Verdünnungen bis zu 100000 Lit/Mol ausgeführt.

Die Messmethodik stimmte im wesentlichen mit der in der Arbeit von Monossohn und Pleskow<sup>2</sup> beschriebenen überein.

Die abgewogenen Mengen der untersuchten Salze wurden in kleinen Glasschälchen (Volumen = 0,5 cm³) eingebracht.

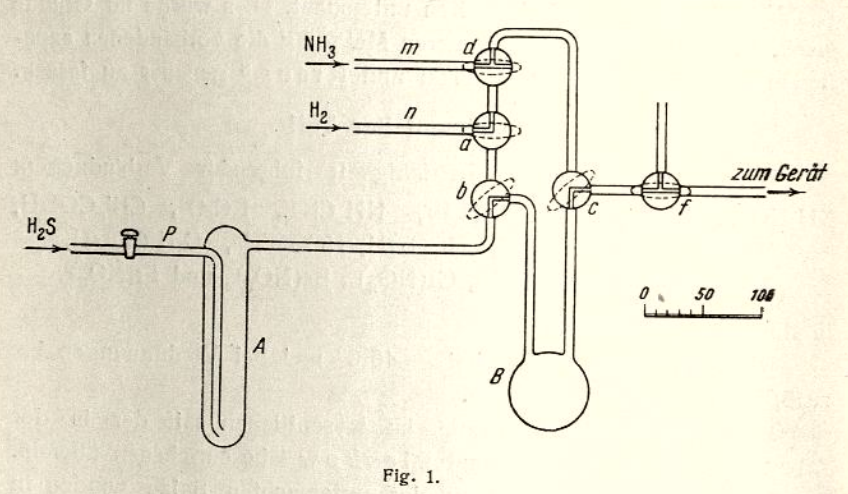
Betrug die Gewichtsmenge jedoch weniger als 0,01 g, so wurde in das Schälchen eine abgewogene Menge wässriger Lösung des zu untersuchenden Stoffes von bekannter Konzentration gegeben; die Lösung verdampfte im Vakuumexsikkator und nach sorgfältiger Trocknung wurde das Schälchen mit dem Salzrückstand in das Gerät eingeführt.

Es sei hier betont, dass die Messresultate nicht von der Grösse und der Einführungsweise der Gewichtsmengen abhingen, und dass die Daten der verschiedenen Serien gut miteinander übereinstimmen.

<sup>8</sup> Franklin u. Kraus, J. Am. Chem. Soc., 23, 277 (1900); J. Am. Chem. Soc., 27, 191 (1905); Z. physik. Chem., 69, 272 (1909).
9 Smith, J. Am. Chem. Soc., 49, 2162 (1927).

Die Gewichtsproben der Ameisen- und Essigsäure wurden etwas anders eingeführt. Die sorgfältig gereinigte Säure (die Reinigung wird weiter unten beschrieben) wurde einer vorsichtigen Destillation im Vakuum (bei  $10^{-3}\,$  mm Hg) unterzogen und in Ampullen zu 0,1-0,5 g abgefüllt. Um Verluste zu vermeiden, wurde sowohl die Ampulle als auch das Gerät vorher abgekühlt.

Diese Methode konnte bei der Verwendung von Zyanwasserstoff nicht benutzt werden, da deren Dampfdruck sogar bei —  $50^\circ$  noch zu gross ist. In diesem Falle gingen wir auf folgende Weise



vor: reine Blausäure (Darstellung und Reinigung ist weiter unten beschrieben) wurde in einen mit einem Hahn versehenen Pyknometer destilliert.

Aus dem Pyknometer wurde die erforderliche Menge HCN durch einen besonderen Schliff in das Gefäss (das mit flüssiger Luft gekühlt und durch die Ölpumpe evakuiert wird) getrieben, worauf das Ammoniak sich sofort darin kondensiert. Die HCN-Menge wurde aus dem Gewichtsunterschied des Pyknometers vor und nach der Destillation bestimmt.

Vom Schwefelwasserstoff wurden Volumenproben mit Hilfe des in Fig. 1 abgebildeten Geräts genommen.

Das zwischen den Hähnen b und c eingeschlossene Volumen B diente als Volumenmass des zur Untersuchung benutzten gasför-

migen Schwefelwasserstoffs. Das Volumen wurde genau durch Kalibrierung mit Quecksilber gemessen. Während des Versuchs befand sich dieser ganze Teil des Geräts bis dicht an die Hähne b und c in einem Wasserthermostaten. Nach dem Füllen des Geräts mit gasförmigem Schwefelwasserstoff (der durch Verdampfung von flüssigem  $H_2S$ , der sich in dem von einer Mischung von Azeton und fester Kohlensäure gekühlten Auffänger A befand) wurde letzterer durch einen trockenen Wasserstoffstrom mit Hilfe eines Systems von Hähnen a, b, c, d, e, f in das Gerät zur Leitfähigkeitsmessung verdrängt und vermischte sich mit dem darin kondensierten flüssigen Ammoniak. Das Gewicht des Schwefelwasserstoffs wurde aus dem Volumen und der normalen Dichte aus der einfachen Gasgleichung berechnet. Es betrug gewöhnlich ungefähr 0,05 g.

#### Messungen

Die Messapparatur bestand aus einer geraden Messbrücke (1 m lang) aus kalibriertem Platin-Iridiumdraht von 0,2 mm Durchmesser, einem Widerstandsmagazin (Hartmann und Braun) bis  $10^5\,\Omega$ , einem Lampengenerator von akustischer Frequenz und einem 2-Lampenverstärker mit Telefon.

Zur Kompensation von kapazitiven Widerständen, die besonders stark bei der Leitfähigkeitsmessung verdünnter Lösungen auftreten, wurde dem Magazin oder dem Gefäss zur Leitfähigkeitsmessung ein variabler Luftkondensator parallelgeschaltet. Die Stellung des Tonminimums wurde bis zu einer Genauigkeit von 0,1—0,3 mm gefunden.

In Anbetracht dessen, dass die Genauigkeit der Leitfähigkeitsmessung verdünnter Lösungen in der Hauptsache durch die Eigenleitfähigkeit des flüssigen Ammoniaks beschränkt war, schien es unzweckmässig, eine komplizierte Schaltung zu verwenden.

Spezielle Versuche zeigten, dass die Messungen der Leitfähigkeit unabhängig von den Gefässkonstanten und von der Generatorfrequenz (die zwischen 1200—2000 Hertz variierte) waren.

Alle von uns untersuchten Elektrolyte mit Ausnahme von HCOOH, CH<sub>8</sub>COOH und HCN, waren Präparate der Firmen Kahlbaum, de Haen und Merck, die bei den für sie höchstzulässigen Temperaturen getrocknet wurden.

Essigsäure. Zur Bestimmung der Leitfähigkeit der Essigsäure wurde ein Präparat von Kahlbaum benutzt, dessen Schmelz-

punkt bei 12,7° lag, was einem Wassergehalt von 3°/0 entsprach. Durch mehrfaches (10—12 mal) Ausfrieren wurde die Schmelztemperatur auf 14° erhöht, danach wurde diese Säure einer Behandlung mit wasserfreiem Kupfersulfat unterzogen, was eine weitere Erhöhung ihrer Schmelztemperatur auf 15,5° brachte. Hierauf wurde zur Säure eine berechnete Menge Essigsäureanhydrid (Kahlbaum) zugegeben, die gerade ausreichend zur Reaktion mit dem Wasserrest war, und die Mischung wurde (im abgeschmolzenen Rohr) auf 180°—200° C erhitzt; auf dieser Temperatur wurde sie 12 Stunden lang gehalten. Darauf wurde die Säure in dem oben beschriebenen Gerät im Vakuum destilliert; ihre Schmelztemperatur lag bei 16,4—16,5°C.

A meisensäure. Zur Messung wurde Ameisensäure (Kahlbaum) mit einem Schmelzpunkt von 5,6° benutzt; durch mehrfaches Ausfrieren wurde ihr Schmelzpunkt auf 8,25° erhöht, und dann wurde sie im Vakuum in dem obenbeschriebenen Gefäss destilliert. Das endgültige Produkt besass den Schmelzpunkt 8,40°.

Schwefelwasserstoff. Der Schwefelwasserstoff wurde aus Natriumsulfid und Salzsäure gewonnen. Das erhaltene Gas ging durch eine Waschflasche mit Wasser, wurde sorgfältig mit Phosphoranhydrid getrocknet und durch Abkühlung mit einer Mischung aus Azeton und fester Kohlensäure verflüssigt. Ein Teil wurde dann in das oben beschriebene Gefäss B (Fig. 1), das sich im Thermostat befand, eingelassen.

Blausäure. Die Blausäure wurde aus Ferrizyankalium  $(K_4 \operatorname{Fe}(\operatorname{CN})_6]$  unter Einwirkung von Schwefelsäure erhalten, mit Phosphoranhydrid getrocknet und in besonderen Pyknometern gesammelt, aus welchen bestimmte Mengen der Säure zur Arbeit benutzt wurden.

# Diskussion der Ergebnisse

Wie schon oben hingewiesen wurde, ist die Leitfähigkeit einiger von uns untersuchten Elektrolyte, nämlich: Ammoniumchlorid, Ammonium-, Strontium- und Bariumnitrat von Franklin und Kraus<sup>8</sup> in den Jahren 1900—1905 untersucht worden.

Beim Vergleichen der Leitfähigkeitswerte dieser Elektrolyte, die von Franklin und Kraus bei —33,5° erhalten wurden, mit den unsrigen, geht aus den Fig. 2, 3, 4, u. 6 hervor, dass im allgemeinen die Kurven parallel verlaufen: das etwas stärkere Auseinanderge-

4\*

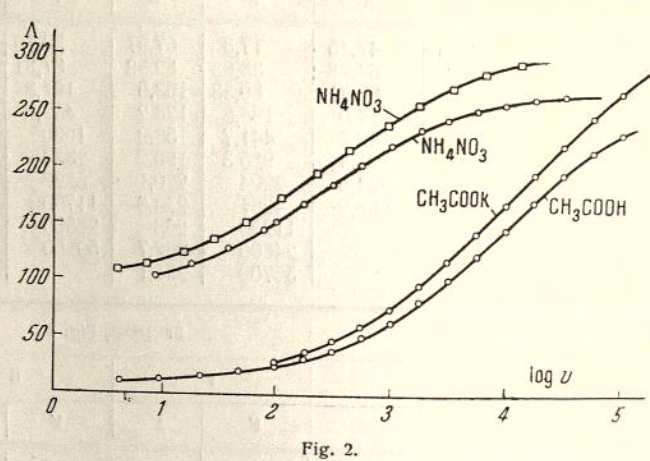
Tabelle 1 V- die Verdünnung in Lit/Äquiv.  $\Lambda-$  die Äquivalentleitfähigkeit

V— die	e Verdünn	ung in Lit	Äquiv.	$\Lambda$ — die	Äquival	entleitfähig	keit
	NH <sub>4</sub> NO	Fig. 2			NH <sub>4</sub> CI	Fig. 3	
I		II II				ıı ıı	Water La
v	Λ	v	Δ	v	Δ	v	Λ
9,39 19,51 40,58 86,57 182,8 388,0 827,5 1758	106,02 115,37 129,26 147,88 169,78 198,34 216,4 235,63	333,6 699,1 1458 3017 6341 13360 28620 60780	187,5 209,55 229,3 244,75 254,56 260,53 266,1 270,4	10,08 20,98 43,81 94,05 194,2 411,2 877,0	62,8 72,38 86,42 106,87 130,58 158,13 188,0	345,8 736,7 1546 3235 6824 14471 30294 63060	148,1 177,9 206,1 231,9 250,0 263,4 270,6 273,5
	NaCl	Fig. 4			NH <sub>4</sub> Br	Fig. 5	
1		1	ı	I I		11	
V	Λ	V	Λ	V	Δ	v	Δ
74,31 166,2 379,7 860,5 1961,4 4430 10020 22740 50920	124 149,9 179,5 210,4 238,2 260,1 273,2 282,6 284	49,35 111,5 255,2 579,3 1322 3042 6906 15470 35090 79070	112 135 163,4 194 222,9 249,5 268,5 280 285,2 287,7	2,93 6,23 13,34 28,07 59,99 129,1 272,5 579,5 1228 2597 5559 11650	86,03 91,67 100,1 112,6 130,05 152,0 177,0 201,8 225,5 244,2 259,2 269,6	49,63 108,5 236,9 517,1 1137 2464 5317 11410 24920 54150	126,8 148,2 173,3 199,2 224 243,6 258,8 270,0 279 278,8
	NH <sub>4</sub> C10	04 Fig. 4		+-11	KC10	4 Fig. 4	
	I		п	I		II	
V	Λ	v	Δ	v	Δ	V	Λ
22,49 51,37 116,7 262,2 600,9 1323 2971 6663 15240 33310	142 156,4 175,7 197,3 218,1 236 248,9 258 266,2 269,1	18,69 41,68 94,98 214,8 485,6 1108 2526 5773 13020 29150	139,2 152,7 171,5 192,8 213,7 231,5 245 256,7 263,9 267,9	46,52 106,4 246,6 557,9 1241 2809 6372 14180 31290 68330	159,3 185,2 210,5 238,3 262,5 283,7 297,1 306,3 307	35,98 79,67 185,1 421,4 953,7 2137 4826 11010 24490 55370	152,6 173,8 200,6 227,2 253,6 273,9 289,6 298,5 304,2 305,7

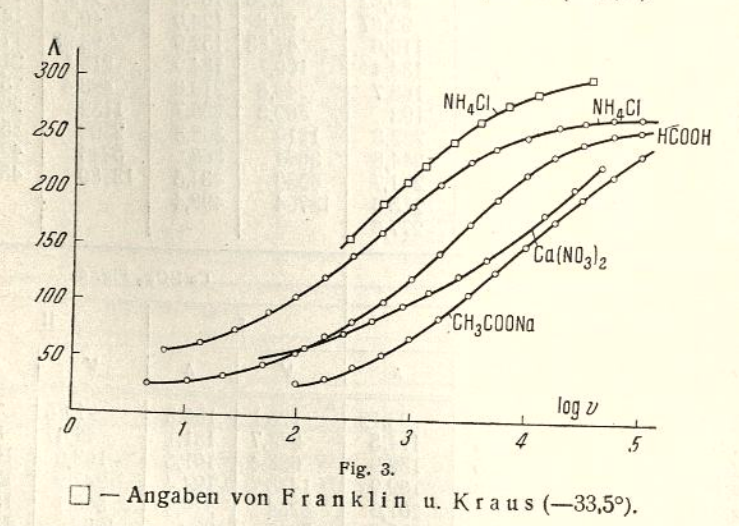
	CH <sub>3</sub> CO	OH Fig. 2			CH-CO	ONa Fig. 3		
	I		I		I	1	I	
· v .	Δ	V	Λ	v	Λ	V	Α	
4,12 9,32 21,59 48,91 111,5 257,9 587,8 1346 3061 6993	11,25 12,45 15,17 19,85 27,17 38,18 53,54 74,44 101,6 132,3	29,51 67,52 154,5 354,1 803,1 1842 4185 9596 21840 49890 112600	16,65 22,3 30,9 43,4 60,7 84,2 113,1 148,7 183,9 216,5 246,1	101,3 225,8 522,3 1178 2732 6121 13710 30940 71480	28,9 40,1 56,3 74,5 105,4 136,0 169,5 200,0 226,4	107,8 240,9 547,7 1259 2844 6514 14920 33370 76340	30,58 41,45 57,78 80,18 107,8 140,4 173,4 202 229,7	
	CH3COO	K Fig. 2			нсоо	H Fig. 3	1 1 1 1 1 1 1	
1,		' 1		1		11	II	
v	Λ	v	Δ	V	Λ	V	Δ	
89,46 205,4 470,4 1072 2432 5524 12520 28120 64450	28,82 40,5 56,86 79 108,2 143,6 182,3 220,5 256,3	89,59 201,2 460,7 1045 2406 5513 12470 28040 63020	28,87 39,98 56,11 78,01 107,2 142,4 180,6 218,5 253,1	4,62 10,37 23,21 51,75 116,8 265,9 610,4 1423 3158 7124 16330 36940 84730	26,83 29,67 35,77 45,71 60,48 81,23 108,1 141,0 208,1 236,1 252,3 260,6	11,52 26,01 59,55 137,7 309,7 700,8 1598 3699 8431 19060 43480	30,12 37,51 47,4 63,85 85,16 112,4 144 180,7 213,6 237,9 255,2	
	HCOON	la Fig. 5			C <sub>6</sub> H <sub>5</sub> CO	OH Fig. 5		
<del> </del>	1 47	ц		I		II		
<u> </u>	Δ	v	Α	v	Λ	V	A	
70,01 160,5 366,0 8:8,3 1889 4239 9648 21560 48800	54,2 72,4 96,5 125,9 160,5 193,9 224 245 262	90,46 208,0 475,1 1087 2500 5621 13200 29750	59,1 80,65 107,0 139,3 175,6 205,3 234,5 257,7	91,57 206,5 466,0 1068 2453 5634 12860 29500 66680	30,84 42,27 57,94 79,15 105,15 135,1 165,0 191,7 209,2	81,66 184,5 421,0 960,0 2206 5018 11490 26330 60440	29,62 40,63 55,95 76,35 102 130,7 160,1 186,7 206	

							-
	C <sub>6</sub> H <sub>5</sub> COO	Na Fig. 4			H <sub>2</sub> S F	ig. 6	
		I	I, , saide	I I		11	
v	Λ	V	A	V	Δ	v	Δ
394 898,6 2071 4718 10500 24340 54190	60,54 82,09 109,2 139,0 168,1 192,0 208,0	211,6 479,2 1091 2497 5654 13050 29020 66030	47,45 64,48 86,71 114,0 142,7 171,4 194,6 208,2	17,3 38,85 89,53 194,6 441,7 985,3 2204 4981 11250 24800 56700	67,97 82,33 103,0 128,2 158,9 190,2 220,1 243,8 263 268,7 271,1	38,85 87,81 197,8 452,0 1030 2333 5223 11760 26500 59600	82,54 103,05 129,5 160,7 194,4 225,5 250,1 266,9 273,1 273,2
	HCN	Fig. 6			Sr (NO <sub>3</sub> )	<sub>2</sub> Fig. 4	
I		11		1		п	
. v	Λ	v	Λ	v	Λ	v	Λ
5,82 12,78 28,65 63,49 141,8 319,0 721,0 1639,5 3719 8416 18890 42690	73,25 81,42 94,88 116,7 138,6 167,6 199,2 228,1 251,8 269,9 274,2 276,2	46,05 10,22 22,88 51,08 115,2 261,3 585,8 1309 2951 6587 15040 33400	73,32 80,62 92,67 110,6 134,4 163,7 193 222,3 244,8 261,7 275,6 277,6	4,05 9,29 20,8 47,83 109,7 249,3 569,3 1319 3064 6930 15794	83,53 101,3 124,0 152,9 184,9 219,8 255,7 308,3 368 434,5 498,4	7,92 17,87 40,39 93,93 215,1 493,4 1132 2592 5946 13580	96,75 118,6 145,45 177,4 211 253,1 299,9 356,3 423,3 487,8
	Ba(NO	3) <sub>2</sub> Fig. 6	3	No. 2	Ca(NO	s) <sub>2</sub> Fig. 4	
I	I		I >	I		II	
V	Λ	V	Λ	V	Λ	v	Λ
159,3 359,9 816,6 1819 4096 9292 21100 47870 110300	113,1 139,1 168,8 199,9 234,4 273,8 324,5 384,3 452,6	77,03 173,5 382,5 867,8 1940 4383 9753 22070 49150	93,12 114,5 139,9 169,9 201,6 235,9 275 383,6 384,3	123,1 273,7 628,4 1433 3234 7212 16090 36790 83090	106,3 131,1 161,5 194,4 229,9 270 317,9 379,2 447,2	21,65 48,47 108,0 247,2 565,1 1296 2950 6713 15610 35220 72370	70,63 83,56 101,0 126,3 155,6 188,5 224,1 265,1 316,5 376,4 443,8

hen der Kurven für NH<sub>4</sub>Cl und NH<sub>4</sub>NO<sub>3</sub> ist dadurch zu erklären, dass Franklin und Kraus die Korrektion auf die Eigenleitfähigkeit des Ammoniaks nicht anbrachten, welche sich ziemlich stark



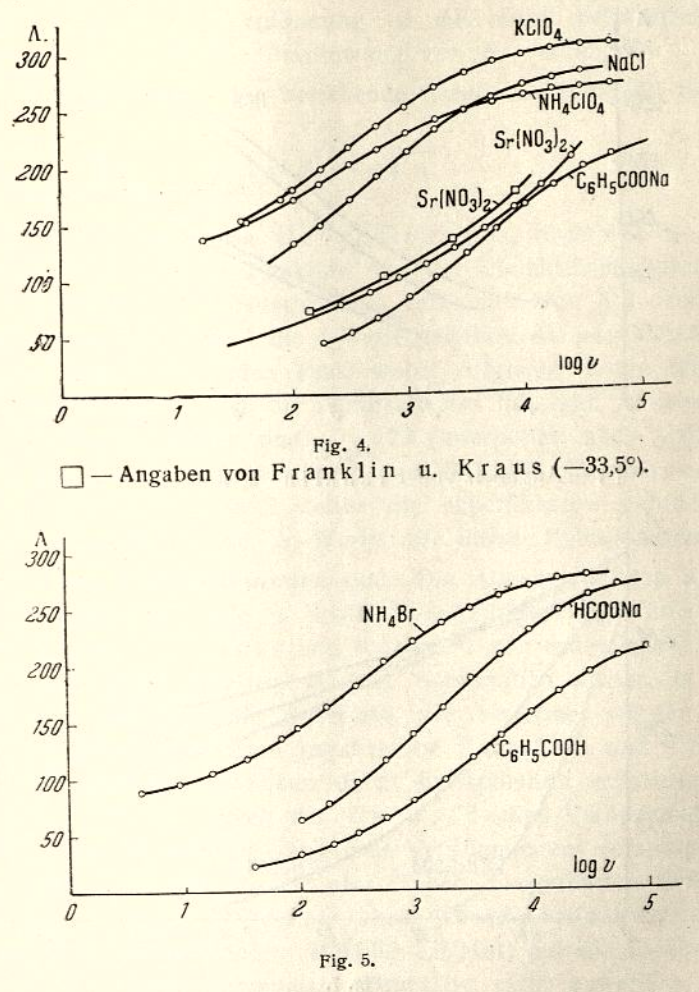
☐ — Angaben von Franklin u. Kraus (-33,5°).



auf die Leitfähigkeit der verdünnten Lösungen auswirkt, indem sie ungefähr  $5^{0}/_{0}$  der zu messenden Grösse bei 100 000 Lit/Mol ausmacht.

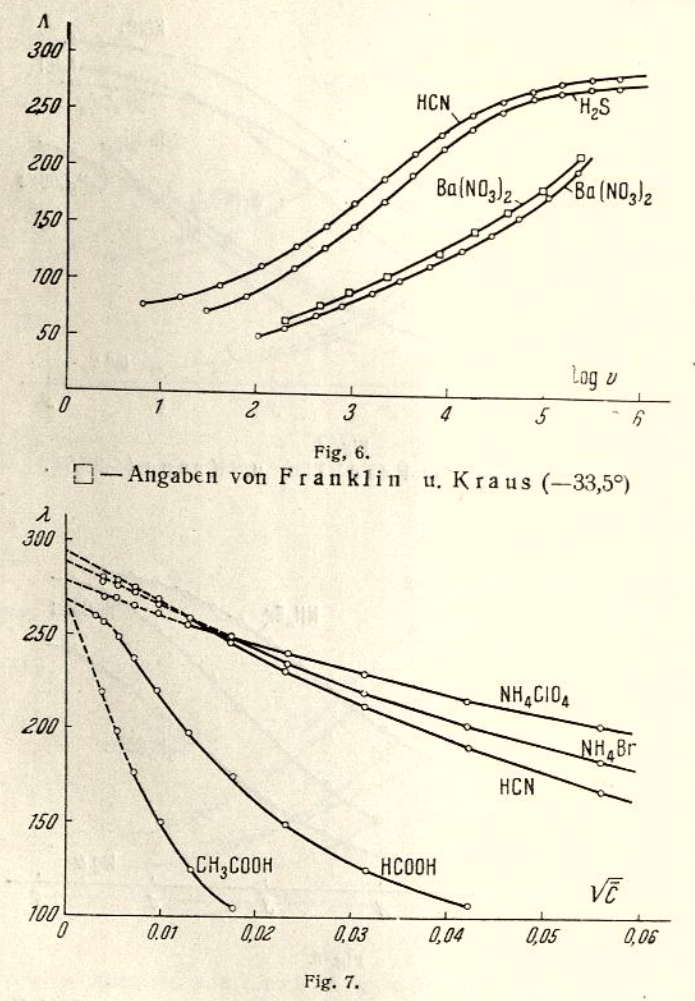
Zur Bestimmung der Grenzleitfähigkeiten  $(\Lambda_0)$  der untersuchten Elektrolyte, versuchten wir vor allem die Extrapolation nach Kohl-

rausch anzuwenden, die die Leitfähigkeit als Funktion der Quadratwurzel aus der Konzentration ausdrückt. Die  $\Lambda - \sqrt{c}$ -Kurven sind für einige von uns untersuchte typische starke und schwache Elektrolyte in Fig. 7 angeführt.



Für die starken Elektrolyte vom Typ  $\mathrm{NH_4ClO_4}$ ,  $\mathrm{NH_4Cl}$ ,  $\mathrm{HCN}$  und andere ist lineare Abhängigkeit von  $\Lambda$  von  $\sqrt{c}$  (für kleine c) ziemlich gut zu erkennen, und die Extrapolation auf unendliche Verdünnung kann in diesen Fällen mit verhältnismässig kleinem Fehler

ausgeführt werden. Zu beachten ist jene Tatsache, dass in vielen Fällen bei äussersten Verdünnungen ein gewisses Abweichen von der Geradlinigkeit zu bemerken ist (konkav nach der Abszissenachse zu gekrümmt); diese Abweichungen können durch die Ungenauigkeit,



die mit der Anbringung der Korrektion auf die Eigenleitfähigkeit des Lösungsmittels verbunden ist, erklärt werden. Jedoch ist die Wahrscheinlichkeit dafür nicht ausgeschlossen, dass sich hier ein prinzipiell anderer Grund, auf den wir weiter unten zurückkommen, äussert.

Für die schwächeren Elektrolyte, für die als Beispiel die Essigsäure und ihre Salze dienen können, ist eine lineare Abhängigkeit von  $\Lambda$  von  $\sqrt{c}$  bei den von uns erzielten Verdünnungen (Grössenordnung 100 000 Lit/Mol) noch nicht zu beobachten, und eine Extrapolation auf unendliche Verdünnung ist mit einem beträchtlichen-Fehler von ca.  $10^{0}/_{0}$  für die Bestimmung von  $\Lambda_{0}$  verknüpft.

Die zwischen  $\Lambda$  und  $\sqrt{c}$  bestehende lineare Abhängigkeit in der Form

$$\Lambda = \Lambda_0 - \alpha \sqrt{c}$$

fliesst aus der Theorie von Debye-Onsager, nach welcher der Richtungskoeffizient a eine Funktion von der Dielektrizitätskonstante und der Zähigkeit des Lösungsmittels (als auch von  $\Lambda_0$ ) darstellt. In Tabelle 2 sind in Spalte 1 die α-Werte gegeben, die nach Debye-Onsager berechnet worden sind, wobei folgende Werte für die Dielektrizitätskonstante und die Zähigkeit des flüssigen Ammoniaks (bei  $-40^{\circ}$ ) benutzt worden sind: D=23 (interpoliert nach Angaben von Palmer und Schlundt 10)  $\eta = 0.00276$  (Monossohn und Pleskow); in Spalte 2 stehen die experimentell gefundenen α-Werte, - in Spalte 3 die Ao-Werte, die durch Extrapolation der Λ - V c-Kurven berechnet worden sind. Die Angaben in den Klammern sind angenähert. Die in Spalte 4 angeführten  $\Lambda_0$ -Werte sind nach der Methode von Fuoss und Kraus 6, von denen später noch die Rede sein wird, erhalten worden. Schliesslich stehen in der Spalte 5 zum Vergleich die Ao-Werte, die berechnet wurden von Kraus und Bray 11 nach den Angaben von Franklin und Kraus (für -33,5°), die von denselben durch Extrapolation erhalten wurden, indem sie die Gültigkeit des Ostwaldschen Verdünnungsgesetzes in Ammoniaklösungen (für grosse Verdünnungen) voraussetzen-

Aus dem Vergleich der in der Tabelle angeführten Grössen  $\alpha$  folgt, dass die De by e-Onsagersche Theorie bei den erreichten Verdünnungen (Grössenordnung 100000 Lit/Mol) auf die Elektrolytlösungen in flüssigem Ammoniak quantitativ nicht anwendbar ist. Für starke Elektrolyte betragen die Abweichungen von der Theorie  $200-300^{\circ}/_{\circ}$ , für schwächere sind sie noch grösser; z. B. ist  $\alpha$  für

Palmer u. Schlundt, J. Physic. Chem., 15, 381 (1911).
 Kraus u. Bray, J. Am. Chem. Soc., 35, 1335 (1913).

die Essigsäure und ihre Salze experimentell zu 13-16 mal grösser als der theoretisch berechnete Wert gefunden worden. Besonders starke Abweichungen werden bei den Nitraten der Alkalierdmetalle beobachtet.

Tabelle 2

Elektrolyt	nach De- bye-On- sager berechnet	experimen- tell	A <sub>0</sub> nach Kohl- rausch	nach Fuoss Kraus	nach Kraus Bray (-33,5°)
	1	2	3	4	5
KCIO4	1,06	1,49	317	318	
NH <sub>4</sub> ClO <sub>4</sub>	0,99	1,73	280	279	
NH <sub>4</sub> NO <sub>3</sub>	0,98	1,70	278	278	302
NH <sub>4</sub> Br	1,01	2,34	290	288	303
NaCl	1,02	1,95	301	299	_
NH <sub>4</sub> Cl	1,00	3,15	286	282	310
HCN	1,02	2,50	294	294	-
$H_2S$	1,01	2,65	287	287	_
НСООН	0,98	4,25	275	274	
HCOONa	1,01	6,46	292	282	_
C <sub>6</sub> H <sub>5</sub> COOH	0,90	(8,3)	(238,7)	225	_
C <sub>6</sub> H <sub>5</sub> COONa	0,92	(7,8)	(241,5)	229	_
CH <sub>3</sub> COOH	0,98	(13,4)	(276)	256	_
CH <sub>3</sub> COONa	0,98	(13,1)	(274)	256	
CH <sub>3</sub> COOK	1,08	(16,8)	(323)	297	_
$\frac{1}{2}$ Ba(NO <sub>3</sub> ) <sub>2</sub>	3,73	(39)	(280)	_	-
$\frac{1}{2}$ Sr(NO <sub>3</sub> ) <sub>2</sub>	3,86	(41)	(296)	-	_
$\frac{1}{2}$ Ca(NO <sub>3</sub> ) <sub>2</sub>	3,82	(41)	(293)	_	_

Bekanntlich gilt diese Theorie nur als Grenzfall. Wegen der verhältnismässig kleinen Dielektrizitätskonstante müssen die elektrostatischen Wechselwirkungskräfte im flüssigen Ammoniak eine viel grössere Rolle spielen als im Wasser. Offenbar sind die von Debye-Onsager gemachten Annäherungen in dem betrachteten Lösungs-

mittel nur bei äusserst schwachen Konzentrationen zulässig, die mit Hilfe der in der vorliegenden Arbeit beschriebenen Methode nicht untersucht werden können.

Vor ziemlich kurzer Zeit veröffentlichten Fuoss und Kraus 7 eine Theorie, die die Leitfähigkeit von Lösungen in Lösungsmitteln mit verhältnismässig kleiner Dielektrizitätskonstante beschreibt. Diese Theorie, die eine Weiterentwicklung der Ansichten Bjerrums darstellt, sieht den Hauptgrund des abweichenden Verhaltens solcher Lösungen von der klassischen Debye-Onsager schen Theorie in der Erscheinung der sogenannten "Ionenassoziation", die darin besteht, dass bei beträchtlichen elektrostatischen Kräften zwischen den Ionen die Wahrscheinlichkeit, dass zwei ungleichnamige Ionen sich fast bis zur Berührung nähern, ziemlich gross ist. Ein solches "Ionenpaar" ist in erster Annäherung elektrisch neutral und ist nicht an der Leitfähigkeit beteiligt.

Obzwar die Theorie die Möglichkeit gibt, unmittelbar die Anzahl der Ionenpaare als Funktion der Konzentration und der Eigenschaften des Lösungsmittels zu berechnen, machen Kraus und Fuoss eine weitere Annahme über die Anwendbarkeit des Massenwirkungsgesetzes auf das Gleichgewicht zwischen den Ionenpaaren und den freien Ionen

$$A^+ + B^- \rightleftharpoons AB$$

und bestimmen die Dissoziationskonstante (genauer gesagt die Ionenassoziationskonstante) des Elektrolyts. Wenn auch eine derartige Annahme nicht streng begründet ist, so bringt jedoch bei kleiner Ionenanzahl im Zwischenzustand (zwischen freiem und assoziiertem) offenbar keinen grossen Fehler. Andrerseits vereinfacht sie die Berechnung ausserordentlich, gestattet, theoretisch die Leitfähigkeit des gegebenen Elektrolyten als Funktion der Konzentration zu gewinnen (bei Kenntnis der Grenzleitfähigkeit  $\Lambda_0$  und des Radiusses des Ionenpaares, der gleich der Summe der Radien der das Ionenpaar bildenden Ionen ist) und gibt in Gestalt der Dissoziationskonstante eine bequeme Charakteristik seiner Stärke.

Es schien uns daher vollkommen natürlich, eine Bearbeitung der von uns erhaltenen Resultate vom Standpunkte der Fuoss-Krausschen Theorie zu versuchen. Insbesondere war die Bestimmung der Grenzwerte  $\Lambda_0$  nach der Methode von Fuoss und Kraus

von Interesse, insofern die Kohlrauschsche Extrapolation für schwächere Elektrolyte nur sehr angenäherte Werte gibt.

In Spalte 4 der Tabelle 2 sind die  $\Lambda_0$ -Werte angeführt, die aus experimentellen Punkten nach der oben beschriebenen Fuoss-Kraus schen Theorie berechnet worden sind.

Aus dem Vergleich der Grenzleitfähigkeiten, die durch Extrapolation nach Kohlrausch und nach Fuoss und Kraus berechnet worden sind, ist ersichtlich, dass wir für starke Elektrolyte eine sehr gute Übereinstimmung haben.

Da man bei der Berechnung von  $\Lambda_0$  nach Fuoss und Kraus die theoretischen Werte von  $\alpha$  benutzt, sollte man schliessen, dass bei Verdünnungen, die viel grösser als die von uns erreichten sind, die graphischen Darstellungen von  $\Lambda = f(\sqrt{c})$  Gerade geben müssen, die nach der Debye-Onsagerschen Theorie entsprechende Neigungen haben. Dass wir jedoch gerade im Konzentrationsgebiet 0,00001—0,0001 norm. Geradlinigkeit erhalten haben, ist dadurch zu erklären, dass in diesem Gebiete sich der Wendepunkt der Kurven befindet. Dies wird durch die weiter oben bemerkte Tendenz der Geraden, nach unten abzubiegen, bestätigt, und ebenfalls dadurch, dass in der Regel die nach Fuoss und Kraus berechneten  $\Lambda_0$  etwas tiefer liegen als die nach Kohlrausch extrapolierten.

Bei schwachen Elektrolyten ist die Diskrepanz zwischen den nach beiden Methoden bestimmten  $\Lambda_0$  bedeutend grösser, wobei immer die nach Fuoss und Kraus gefundenen Werte beträchtlich tiefer liegen, was vollkommen mit dem oben Gesagten übereinstimmt.

Um die Grenzen der Anwendbarkeit der Theorie von Fuoss und Kraus auf Lösungen in flüssigem Ammoniak aufzuklären, wurden von uns nach der nach den genannten Autoren bezeichneten Methode die  $\Lambda$ -Werte einiger Elektrolyte für verschiedene Konzentrationen berechnet.

Die für NH<sub>4</sub>ClO<sub>4</sub> und CH<sub>8</sub>COOH in Tabelle 3 angeführten Resultate der Rechnungen sind typisch.

Die erste Spalte dieser Tabelle enthält die Konzentration in g Mol/Lit, die zweite  $\Lambda_{\rm exp.}$ , die dritte  $\Lambda$  nach Fuoss und Kraus berechnet und die vierte — die Differenz beider Grössen ( $\Delta\Lambda = \Lambda_{\rm exp.} - \Lambda_{\rm ber}$ ).

Aus der Betrachtung dieser Tabelle folgt, dass die Theorie von Fuoss und Kraus auf schwache Elektrolyte in einem sehr breiten

Tabelle 3

c	A exp.	A theor.	ΔΛ	f	947 F 1
K 24 -		Perchloratan	nmonium		l dahai
0,05	140,5	64,9	75,6	0,50	0,61
0,02	156,3	111,5	44,8	0,56	0,68
0,01	171,5	158,4	13,1	0,61	0,74
0,005	190,2	182,6	7,6	0,68	0,79
0,002	220,4	213,7	6,7	0,76	0,86
0,001	230,0	228,2	1,8	0,82	0,91
0,0005	243,0	242,0	1,0 1,0	0,86	0,94
0,0001	262,5	261,5			0,97
0,00002	270,0	269,4	0,6	0,96	0,98
		Essigsä	iure		
0,1	12,0	9,98	2,20	0,04	0,05
0,05	14,5	13,3	1,2	0,05	0,067
0,01	26,0	26,8	-0,8	0,09	0,11
0,005	34,0	34,2	-0,2	0,117	0,15
0,001	66,0	67,0	-1,0	0,22	0,28
0,0001	150,0	149,2	-1,2	0,52	0,50

Konzentrationsintervall, beginnend z. B. von c=0,1-0,05 norm., anwendbar ist. Bei starken Elektrolyten ist die Anwendbarkeit dieser Theorie auf verdünntere Lösungen, beginnend bei 0,002-0,001 norm., beschränkt.

In der vierten und fünften Spalte der Tabelle 3 ist experimentell bestimmt der Leitfähigkeitskoeffizient f und der nach Fuoss und Kraus berechnete Dissoziationsgrad  $\gamma$  angegeben.

Wie aus der Tabelle ersichtlich ist, sind die  $\gamma$ -Werte merklich kleiner als 1, sogar in verdünnten Lösungen. Somit spielt also die Assoziation der Ionen im flüssigen Ammoniak keine minder wichtige Rolle als die Wechselwirkung zwischen den Ionen im Sinne der Debye-Onsagerschen Theorie. Insbesondere gilt dies natürlich für schwächere Elektrolyte vom Type der Essigsäure.

Zusammenfassend können wir sagen, dass die Vorstellung über das Vorhandensein einer Ionenassoziation befriedigend die Änderung der Leitfähigkeit von Lösungen in flüssigem Ammoniak in einem ziemlich breiten Konzentrationsintervall wiedergibt. Daher sind die nach Fuoss-Kraus berechneten  $\Lambda_0$ -Werte (besonders für schwache Elektrolyte) bedeutend zuverlässiger als die nach Kohlrausch bestimmten.

Unter Benutzung dieser Grössen und der nachstehenden Ionenbeweglichkeiten:

K' Na' NO<sub>3</sub>' 164,0 130,1 165,0

(von Fuoss und Kraus berechnet 12) erhielten wir nach den Angaben von Pleskow und Monossohn folgende Ionenbeweglichkeiten für die von uns untersuchten Elektrolyte (Tabelle 4).

Bei Betrachtung dieser Tabelle fällt vor allem die verhältnismässig kleine Beweglichkeit des Ammoniumions auf.

Tabelle 4

Ion	Salz	Beweglichkeit bei -40,0°		
· Cl'	NaCl	169		
NH' <sub>4</sub>	NH <sub>4</sub> NO <sub>3</sub>	113)		
	NH <sub>4</sub> Cl	113 (Mittelwert 113		
Br'	NH <sub>4</sub> Br	175		
ClO <sub>4</sub> ′	NH <sub>4</sub> ClO <sub>4</sub>	166 ) (Mittaliana 160		
,	KCIO <sub>4</sub>	153 (Mittelwert 160		
HCOO'	HCOONH <sub>4</sub>	161		
CH <sub>3</sub> COO'	CH <sub>3</sub> COONH <sub>4</sub>	143		
C <sub>6</sub> H <sub>5</sub> COO'	C <sub>6</sub> H <sub>5</sub> COONH <sub>4</sub>	112		
SHNH <sub>3</sub> '	NH <sub>4</sub> SHNH <sub>3</sub>	174		
CN'	NH <sub>4</sub> CN	181		
1/2Ba**	Ba (NO <sub>3</sub> ) <sub>2</sub>	(167)		
1/2Sr"	Sr (NO <sub>3</sub> ) <sub>2</sub>	(183)		
1/2Ca"	Ca (NO <sub>3</sub> ) <sub>2</sub>	(180)		

<sup>12</sup> Fuoss u. Kraus, J. Am. Chem. Soc., 55, 1019 (1933).

Zweifellos ist die relative Erniedrigung der Beweglichkeit des NH<sub>4</sub>-lons durch dessen grosse Solvatation in flüssigem Ammoniak zu erklären, die ihrerseits durch die grosse Affinität des Protons zum NH<sub>8</sub>-Molekül bedingt ist.

Es ist zu bemerken, dass die aus den Grenzleitfähigkeiten von NH<sub>4</sub>NO<sub>3</sub> (unter Benutzung der Beweglichkeit von NO<sub>3</sub>') und NH<sub>4</sub>Cl (unter Benutzung der Beweglichkeit von Cl') berechneten Beweglichkeiten für NH<sub>4</sub> vollkommen zusammenfallen. Beim ClO<sub>4</sub>-Ion ist eine gewisse Diskrepanz zwischen den aus den Leitfähigkeiten von NH<sub>4</sub>ClO<sub>4</sub> und KClO<sub>4</sub> berechneten Beweglichkeiten vorhanden. Die Ursache dieser Diskrepanz gelang uns nicht zu bestimmen: z. T. kann sie durch eine geringere Zuverlässigkeit des KClO<sub>4</sub>-Präparats und ungenaue Extrapolation erklärt werden. Dies gilt auch für die Beweglichkeiten der Anionen organischer Säuren, wo die Berechnung aus den Leitfähigkeiten der Na- und K-Salze etwas kleinere Werte gibt. Da dievon uns benutzten Säuren höchst sorgfältig gereinigt waren, während jedoch die Salze einer solchen Reinigung nicht unterzogen werden konnten, sind diese Ziffern in Tabelle 4 nicht angeführt.

Die Grenzleitfähigkeit von  $H_2S$  deutet darauf hin, dass er im flüssigen Ammoniak wie eine einbasische Säure dissoziiert; andrerseits existiert bei tiefer Temperatur und einem Überschuss an Ammoniak in der Lösung neutrales Schwefelammonium  $(NH_4)_2S$ . Es ist höchst wahrscheinlich, dass das zweite  $NH_3$ -Molekül in demselben anders (schwächer) gebunden ist als das erste; darauf weist besonders die äusserste Unbeständigkeit von  $(NH_4)_2S$  hin, das unter gewöhnlichen Bedingungen in  $NH_4SH+NH_3$  zerfällt. Daher geht aller Wahrscheinlichkeit nach die Dissoziation des Schwefelwasserstoffs in flüssigem Ammoniak nach folgenden Schema vor sich:

# $NH_4SHNH_3 \rightarrow NH_4 + SHNH_3'$ .

Die in der Tabelle angeführten Beweglichkeiten der Erdalkalimetalle haben nur orientierende Bedeutung, da die Extrapolation in diesen Fällen höchst unzuverlässig ist.

Das zweite Ziel unserer Untersuchungen war die Erforschung des Einflusses der spezifischen Eigenschaften des Ammoniaks auf das Verhalten der Säuren. Wie aus den oben angeführten Leitfähigkeitskurven ersichtlich ist, unterscheiden sich die Kurven für die

Säuren und den ihnen entsprechenden Salzen sehr wenig voneinander.

Auf diese Weise verschwindet der im Wasser vorhandene Unterschied zwischen der Stärke schwacher Säuren und ihrer Alkalisalze im flüssigen Ammoniak. Dies erscheint eigentlich nicht unerwartet, da wir es bei Säuren im flüssigen Ammoniak mit ihren Ammoniumsalzen zu tun haben, was seinerseits die Folge einer scharf ausgedrückten Affinität des NH<sub>3</sub>-Moleküls zum Proton ist.

Tabelle 5

		THE CASE	c =						
Elektrolyt	Lösungs- mittel	0,00002	0,0001	0,001	0,005	0,01	0,05	0,1	
UCI	( NH <sub>3</sub>	0,948	0,894	0,662	0,450	0,377	0,246	0,216	
HC1	H <sub>2</sub> O	1-	-	0,992	0,981	0,974	0,947	0,924	
ис	NH <sub>3</sub>	0,981	0,941	0,692	0,467	0,384	0,254	_	
H <sub>2</sub> S	H <sub>2</sub> O	10-4		_	0,006	0,003	0,001		
HCN	∫ NH <sub>3</sub>	0,945	0,935	0,715	0,540	0,455	0,315	0,266	
HCN	H <sub>2</sub> O	-	ne <u>est</u> e i e	_	_	_		0,000	
НСООН	(NH <sub>3</sub>	0,934	0,807	0,456	0,265	0,205	0,126	0,109	
ncoon	H <sub>2</sub> O	4.4		0,346	0,198	0,132	0,090	0,04	
HCOONa .	NH <sub>3</sub>	0,934	0,803	0,476	0,268	0,216	Name of Street		
ricoona .	H <sub>2</sub> O	6_6		0,976	0,925	0,901	0,890	0,821	
CHCOOH	NH <sub>3</sub>	0,897	0,697	0,345	0,186	0,142	_	-	
C <sub>6</sub> H <sub>5</sub> COOH	1 H <sub>2</sub> O			0,226	0,109	0,078		_	
C <sub>6</sub> H <sub>5</sub> COONa	NH <sub>3</sub>	0,913	0,720	0,374	0,201	_			
CH <sub>3</sub> COOH	∫ NH <sub>3</sub>	0,845	0,587	0,257	0,133	0,101	0,06	0,04	
CH3COOR	H <sub>2</sub> O		0,303	0,116	0,056	0,04	0,018	0,013	

Am interessantesten ist das Verhalten derjenigen Säuren in flüssigem Ammoniak, welche in wässrigen Lösungen zu den schwächeren gehören, in erster Linie Blausäure und Schwefelwasserstoff. In der Tabelle 5 sind die Leitfähigkeitskoeffizienten dieser und einiger organischer Säuren in Wasser und in flüssigem Ammoniak angeführt. Die Daten der Tabelle 5 zeigen, dass diese beiden Säuren in flüssigem Ammoniak in ihrer Stärke hinter solchen Säuren wie HCl und HNO3 nicht

zurückstehen. In gleicher Weise sind auch die Leitfähigkeitskoeffizienten schwacher organischer Säuren, wenn sie auch etwas kleiner sind als die Leitfähigkeitskoeffizienten starker Säuren, bedeutend grösser als die Leitfähigkeiten derselben Säuren in wässrigen Lösungen. Somit also hat flüssiges Ammoniak eine nivellierende Wirkung auf die Säurestärke, indem sie eine Verstärkung schwacher Säuren hervorruft, was besonders klar bei den schwächsten anorganischen (H<sub>2</sub>S und HCN) ausgeprägt ist. Diese Verstärkung kann besonders anschaulich durch die nach der Fuoss-Krausschen Theorie berechneten und in Tabelle 6 angeführten Dissoziationskonstanten charakterisiert werden, wo auch die Summen der Ionenradien (a) gegeben sind. Es sei daran erinnert, dass nach dieser Theorie die Dissoziationskonstante für das gegebene Lösungsmittel eine eindeutige Funktion des Radiusses des Ionenpaares ist, wobei die Vergrösserung des letzteren einen äusserst steilen Anstieg der Dissoziationskonstante hervorruft. In der letzten Spalte der Tabelle 6 sind die Dissoziationskonstanten der Säuren in wässrigen Lösungen angegeben.

Tabelle 6

Elektrolyt	$K_{ m NH_3}$	$a \cdot 10^8$	$K_{\mathrm{H_2O}}$
NH <sub>4</sub> ClO <sub>4</sub>	5,4 · 10 <sup>-3</sup>	6,00	
NH <sub>4</sub> NO <sub>3</sub>	4,3 · 10 <sup>-3</sup>	5,18	The on 1
NH <sub>4</sub> Br	$2,4 \cdot 10^{-3}$	3,99	
NH <sub>4</sub> Cl	1,28 · 10-3	3,31	
HCN	1,9 · 10 <sup>-3</sup>	3,66	4,7 · 10 <sup>-10</sup>
H <sub>2</sub> S	9,8 · 10-4	3,05	5,7 · 10 <sup>-8</sup>
нсоон	3,4 · 10 <sup>-4</sup>	2,60	2,14 · 10-4
HCOONa	3,5 · 10 <sup>-4</sup>	2,59	a side a sustail
C <sub>6</sub> H <sub>5</sub> COOH	1,5 · 10-4	2,32	6,6 · 10 <sup>-5</sup>
C <sub>6</sub> H <sub>5</sub> COONa	1,8 · 10-4	2,38	A CONTROL OF
СН <sub>3</sub> СООН	$7,7 \cdot 10^{-5}$	2,16	1,82 · 10-5
CH <sub>3</sub> COONa	1,0 · 10-4	2,22	2500
CH3COOK	7,7 · 10 <sup>-5</sup>	2,15	

Wie schon oben bemerkt wurde, sind die Dissoziationskonstanten von Fuoss und Kraus bekanntermassen von bedingtem Charakter. Indessen geht aus der Tabelle hervor, dass ihre Werte die relative Stärke der Säuren richtig wiedergeben und den oben angeführten Leitfähigkeiten entsprechen.

Ein Vergleich der Dissoziationskonstanten von  $H_2S$  (5,7 · 10<sup>-8</sup> in Wasser und 0,98 · 10<sup>-3</sup> in flüssigem Ammoniak) und besonders von HCN (4,7 · 10<sup>-10</sup> und entsprechend 1,9 · 10<sup>-3</sup>) zeigt, wie gross die verstärkende Wirkung des flüssigen Ammoniaks sein kann.

Wir müssen noch besonders bei dem Verhalten organischer Säuren verweilen. Wie aus dem oben Dargelegten klar hervorgeht, ist ihre Verstärkung merklich kleiner als die von H<sub>2</sub>S und HCN, und diese Säuren sind ebenso wie ihre Salze in flüssigem Ammoniak Elektrolyte von mittlerer Stärke.

Demgemäss ist auch die Summe der Ionenradien für sie merklich kleiner als bei den Elektrolyten vom Typ NH<sub>4</sub>ClO<sub>4</sub> oder NH<sub>4</sub>Cl. Jedoch besitzen in Wirklichkeit die CH<sub>3</sub>COO'- und C<sub>6</sub>H<sub>5</sub>COO'-Ionen grössere Radien als die einfachen anorganischen Anionen: hierauf weisen z. B. ihre kleiner gewordenen Beweglichkeiten hin. Dieser Widerspruch weist zweifellos darauf hin, dass zwischen den Ionen organischer Säuren in flüssigem Ammoniak neben den rein elektrostatischen auch Kräfte chemischer Natur existieren, die die Dissoziation herabsetzen und eine Verkleinerung der Radien der Ionenpaare der Fuoss-Krausschen Theorie verursachen. Der Chemismus findet in dieser Theorie seinen indirekten Ausdruck gerade in der Grösse dieser Radien, die bekanntermassen fiktiv sind. Auf jeden Fall ist ihre Grössenordnung (10<sup>-8</sup> cm) vollkommen plausibel.

Man kann hier noch darauf hinweisen, dass in der Literatur Angaben vorhanden sind, welche die verstärkende Wirkung des flüssigen Ammoniaks auf schwache Säuren bestätigen. In Tabelle 7 sind die Dissoziationskonstanten (durch Leitfähigkeitsmessungen bestimmt) einiger der Arbeiten von Kraus und Bray  $^{11}$  und Smith  $^9$  (NH<sub>4</sub>N<sub>3</sub>) entnommenen Verbindungen angeführt; es darf nicht ausser Acht gelassen werden, dass die hier angeführten Werte von K in flüssigem Ammoniak nach der Methode von Kraus und Bray berechnet worden sind und mit den von uns erhaltenen Grössen nicht unmittelbar verglichen werden können.

Tabelle 7

Elektrolyt	K <sub>NH3</sub> ( 33°)	K <sub>H2</sub> O
Nitromethan	0,53 · 10-4	1,00 · 10-11
O-Nitrophenol	$3,90 \cdot 10^{-4}$	1,59 · 10-7
Phtalimid	8,7 · 10-4	2,52 · 10-7
NH <sub>4</sub> N <sub>3</sub>	1,5 · 10 <sup>-3</sup>	2,6 · 10 <sup>-5</sup>

Schliesslich wurde in der Arbeit von Schattenstein<sup>5</sup> eine ausserordentliche Verstärkung der katalytischen Aktivität schwacher Säuren in flüssigem Ammoniak nachgewiesen; wenn auch letztere nicht unmittelbar mit der thermodynamischen Aktivität verglichen werden kann, so liegt doch zweifellos bei den Erscheinungen dieselbe Ursache zugrunde. Wie schon mehrfäch geäussert wurde, ist diese Ursache auf eine bedeutend grössere Affinität des Protons zum Ammoniakmolekül im Vergleich zu seiner Affinität zum Wassermolekül zurückzuführen.

Pleskow und Monossohn<sup>3</sup> haben gezeigt, dass die Solvatationsenergie des H' im Ammoniak dessen Hydratationsenergie um 17,3 kal übertrifft. Wir versuchten dieses Resultat zur Berechnung der Dissoziationswärmen von Säuren in flüssigem Ammoniak zu benutzen. Wenn auch die Stärke der Säure, die durch ihre Dissoziationskonstante ausgedrückt wird, streng genommen durch die freie Energie und nicht durch die Dissoziationswärme definiert ist, so muss jedoch der bekannte Parallelismus zwischen Dissoziationswärme und Stärke des Elektrolyten bestehen. Dass dies sich wirklich so verhält, beweisen die Spalten 2 und 4 der Tabelle 8, wo die Dissoziationskonstanten und Dissoziationswärmen von Säuren in wässrigen Lösungen angeführt sind.

Je schwächer die Säure ist, um so grösser ist in der Regel ihre Dissoziationswärme, die bei HCl 11 kal erreicht. Es kann noch hinzugefügt werden, dass bekanntlich die Dissoziationswärme selbst des Wassers, das eine Dissoziationskonstante von der Grössenordnung  $10^{-16}$  besitzt, 14 kal beträgt. Die elektrolytische Dissoziationswärme von  $NH_3$  ( $K\sim10^{-36}$ ) ist noch grösser — 23 — 24 kal. Man könnte

daher annehmen, dass die Dissoziationswärmen aller Säuren in flüssigem Ammoniak klein sein müssen.

Die Berechnung der Dissoziationswärmen der Säuren in flüssigem Ammoniak, d. h. der Reaktionswärmen vom Typ:

$$(NH_4R)_{NH_3} \rightarrow (NH'_4)_{NH_3} + (R')_{NH_3}$$

(der Index NH<sub>3</sub> ist analog dem Index aq von wässrigen Lösungen) kann durch einen Kreisprozess ausgeführt werden, dessen Schema folgendes Aussehen hat:

Das Molekül der Säure HR verbindet sich mit dem Molekül  $NH_{3}$ , das entstandene Molekül des Ammoniumsalzes  $NH_{4}R$  löst sich ohne Dissoziation in flüssigem Ammoniak, dann dissoziiert es in die solvatisierten Ionen  $(NH_{4})_{NH_{3}}$  und  $(R')_{NH_{3}}$ , letztere desolvatisieren sich, werden in Wasser überführt, hydratisiert und verbinden sich zu dem nichtdissoziierten Molekül  $(HR)_{aq}$ , welches sich schliesslich aus dem Wasser ausscheidet. Die Summe der Wärmeeffekte dieses Zyklus ist Null, d. h.

$$Q_{1} + Q_{2} + Q_{\mathrm{NH_{3}}} - H_{\mathrm{NH_{3}}} + H_{\mathrm{W}} - Q_{\mathrm{H_{2}0}} - Q_{3} = 0.$$

Hier bedeutet  $Q_1$  die Bildungswärme des festen Salzes  $\mathrm{NH_4R}$  aus flüssigem Ammoniak und Säure (deren Zustand belanglos ist),  $Q_2$ —die Lösungswärme von  $\mathrm{NH_4R}$  (ohne Dissoziation) in flüssigem Ammoniak,  $Q_{\mathrm{NH_3}}$ —dessen Dissoziationswärme in Ammoniak,  $H_{\mathrm{NH_5}}$ —die Summe der Solvatationswärmen der Ionen H' und R' im flüssigen

Ammoniak,  $H_W$ — die Summe ihrer Hydratationswärme,  $Q_{H_40}$ — die Dissoziationswärme der Säure HR im Wasser und  $Q_8$ — ihre Lösungswärme (ohne Dissoziation) im Wasser.

Hieraus folgt

$$Q_{NH_3} = Q_{H_2O} + (H_{NH_3} - H_W) + Q_3 - (Q_1 + Q_2).$$

Um die Berechnung von  $Q_{\rm NH_3}$  zu ermöglichen, mussten wir folgende Annahmen machen:

- 1) dass die Solvatationswärmen der Anionen im flüssigen Ammoniak gleich ihren Hydratationswärmen sind;
- 2)  $Q_2$  der Lösungswärme des Ammoniumsalzes in Wasser gleichsetzen und
- 3)  $Q_3$  der kalorimetrisch bestimmten Lösungswärme der Säure in Wasser gleichsetzen.

Die erste Annahme bringt natürlich einen Fehler mit sich. Es sei jedoch bemerkt, dass, wie von Pleskow und Monossohn 13 gezeigt wurde, die Solvatationswärmen in Ammoniak und die Hydratationswärmen aller halogenen Anionen wie auch vieler Kationen sehr wenig voneinander verschieden sind, grössere Unterschiede werden nur dort beobachtet, wo eine spezifische Wechselwirkung, wie z. B. zwischen H und NH, vorhanden ist. Leider ist die Berechnung der Solvatationswärmen in Wasser und Ammoniak für die meisten uns interessierenden Anionen wegen Mangels an Daten über die Löslichkeit und Aktivität nicht möglich. Auf jeden Fall kann der durch diese Annahme auftretende Fehler nicht erheblich sein. Ebenso kann auch die zweite Annahme keine grosse Ungenauigkeit mit sich bringen. Die Lösungswärmen nichtdissoziierender Verbindungen sind im allgemeinen klein, und wenn auch natürlich die Wechselwirkung zwischen den NH R-Molekülen und den Molekülen des Lösungsmittels in Wasser und flüssigem Ammoniak verschieden sind, so ist der ganze Effekt jedoch nur von zweitrangiger Bedeutung. Obwohl die Auflösung von Ammoniumsalzen in Wasser von einer Dissoziation begleitet ist, so hat sie jedoch keine wesentliche Bedeutung, da die Dissoziationswärmen starker Elektrolyte (die die Ammoniumsalze in Wasser sind) fast Null sind.

<sup>&</sup>lt;sup>13</sup> Pleskow u. Monossohn, Acta Physicochimica U. R. S. S., 1, 871 (1935); 2, 679 (1935).

Die dritte Annahme schliesslich wird durch folgende Überlegung gerechtfertigt. Wenn es sich um starke Säuren handelt (z. B. HCl), so sind ihre Dissoziationswärmen wenig von Null verschieden. Wenn jedoch die Säure schwach ist, so ist sie praktisch bei den Konzentrationen, bei welchen die kalorimetrischen Bestimmungen durchgeführt werden, nicht dissoziiert.

In beiden Fällen kann folglich die kalorimetrisch bestimmte Lösungswärme der Lösungswärme ohne Dissoziation gleichgesetzt werden.

In Tabelle 8 sind die Resultate der Berechnungen angeführt. Wir benutzten die Tabellen von Landolt-Börnstein und die Critical Tables, wobei in den Fällen, wenn es nötig war (NH<sub>4</sub>CN und NH<sub>4</sub>HS), die Hydrolyse der Salze in Wasser berücksichtigt wurde. Die Differenz der Solvatationswärmen von H in Ammoniak und Wasser (17,3 kal) wurde, wie bereits oben gesagt wurde, der Arbeit von Pleskow und Monossohn entnommen. Die Dissoziationswärmen der starken Säuren HNO<sub>2</sub>, HCl und HBr in Wasser wurden gleichgesetzt, ihre Dissoziationskonstanten gleich 1; beides ist rein konventionell, da für diese Verbindungen das Dissoziationsgleichgewicht in Wasser keinen wirklichen physikalischen Sinn hat.

Tabelle 8
Berechnung der Dissoziationswärmen in flüssigem Ammoniak

Säure	$Q_{\mathrm{H_2O}}$	$Q_{ m NH_3}$	$K_{ m H_2O}$	K <sub>NH<sub>3</sub></sub>	Q <sub>NH3</sub> -Q <sub>H20</sub>	$RT$ In $\frac{K_{\text{NH}}}{K_{\text{H}_2}}$
HCl (Gas)	(0)	1,6	(1)	1,28.10-3	1,6	
HBr "	(0)	1,7		$2,41 \cdot 10^{-3}$		
HNO3 (Flüssigkeit)	(0)	0,6	(1)	$4,31 \cdot 10^{-3}$	0,6	_
НСООН "	- 0,3		2,14.10-4	$3,4 \cdot 10^{-4}$	1.9	0
CH <sub>3</sub> COOH "	-0,5			$7,7 \cdot 10^{-5}$	0	1
HCN	-11,2	-0,3	4,7-10-10	$1,9 \cdot 10^{-3}$	11,5	9
$H_2S$	- 6,1	0,4	$5,7 \cdot 10^{-8}$	9,8 · 10-4	6,5	6
HJ (Gas)	(0)	1,7	(1)	-	1,7	_
HN <sub>3</sub> (Flüssigkeit).	6,0	-0.7	2,6.10-5	$1,5 \cdot 10^{-3}$	5,3	2

Wie aus der Tabelle klar hervorgeht, ist die Dissoziationswärme in flüssigem Ammoniak in allen Fällen nahe bei Null; sie schwankt in den Grenzen 1-1,5 kal.

Somit ist die oben ausgesprochene Annahme vollkommen gerechtfertigt. Überdies ist, wie die zwei letzten Rubriken der Tabelle zeigen, der Unterschied der Dissoziationswärmen in Wasser und AmmoKyng

niak von derselben Grössenordnung wie die Grössen  $RT \ln \frac{K_{
m NH_3}}{K_{
m H_2}}$ ,

d. h. in den meisten Fällen bestimmt die Dissoziationswärme mit einem hohen Grad an Genauigkeit die Lage des Dissoziationsgleichgewichts.

Zur Ergänzung weisen wir noch darauf hin, dass von uns versucht wurde, die Dissoziationswärmen in flüssigem Ammoniak aus dem Temperaturkoeffizienten der Dissoziationskonstanten zu berechnen, die aus den Leitfähigkeitskurven für —40,0° und — 35,0° gefunden wurden. Leider ist aber diese Änderung mit der Temperatur zu klein und die Genauigkeit der Bestimmung der Dissoziationskonstante ungenügend; aus diesen Gründen gibt die Berechnung sehr schwankende Ziffern (für CH<sub>3</sub>COOH von der Grössenordnung einiger Kalorien) die nicht zuverlässig sind.

## Zusammenfassung

- 1. Die Theorie von Debye-Onsager ist in ihrer klassischen Form auf Elektrolytlösungen in flüssigem Ammoniak bis zu Konzentrationen von der Grössenordnung  $10^{-5}$  norm. nicht anwendbar.
- 2. Die Theorie von Fuoss-Kraus gestattet den Kurvenverlauf der Leitfähigkeit von Lösungen in flüssigem Ammoniak für starke Elektrolyte im Bereich c < 0.001-0.002 norm. und für schwache im Bereiche c < 0.1-0.05 norm. richtig wiederzugeben.

Die Berechnung der Dissoziationskonstanten und der Ionenpaarradien nach der Fuoss-Krausschen Methode kann als anschauliche Charakteristik bezüglich der Stärke der verschiedenen Elektrolyte dienen.

3. Das flüssige Ammoniak nivelliert die Stärke der verschiedenen Säuren, indem es die schwachen verstärkt, was besonders bei anorganischen Säuren merklich ist.

Organische Säuren, wie auch ihre Alkalisalze sind schwächer, was durch das Vorhandensein spezifischer Kräfte zwischen den Kationen und organischen Anionen zu erklären ist.

4. Die Verstärkung der Säuren steht in engem Zusammenhang mit der grossen Affinität des Ammoniaks zum Proton. Dies wird durch die Berechnung der Dissoziationswärmen im flüssigen Ammoniak bestätigt, welche unter Berücksichtigung der Erhöhung der Solvatationsenergie des Protons im flüssigen Ammoniak zeigt, dass für alle Säuren die Dissoziationswärme nahe bei Null liegt.

Wir sprechen hiermit dem Leiter des Laboratoriums für verflüssigte Gase, Prof. A. M. Monossohn, für eine Reihe wertvoller Hinweise bei der Ausführung und der Diskussion der vorliegenden Arbeit unseren Dank aus.

Karpow-Institut für physikalische Chemie, Laboratorium für verflüssigte Gase, Moskau.

the state of the state of the state of the

Eingegangen am 13. Juli 1936.